

تخمین مدل دینامیکی و کنترل مود لغزشی تیلر روتور با استفاده از سیستم های فازی

ایمان شریفی^۱، محمدجواد قربانعلی وکیلی^۲، آریا الستی^۳

^۱دانشجوی کارشناسی ارشد مهندسی مکانیک، دانشگاه صنعتی شریف، تهران، ایران، imansharifi@mech.sharif.edu

^۲دانشجوی کارشناسی ارشد مهندسی مکانیک، دانشگاه صنعتی شریف، تهران، ایران، mohammadjavad.ghv@mech.sharif.edu

^۳استاد تمام دانشکده مهندسی مکانیک، دانشگاه صنعتی شریف، تهران، ایران، aalasti@sharif.edu

چکیده

کوادکوپترها، پهپادهایی محبوب با قابلیت صعود و فرود عمودی هستند که به دلایلی هم چون مانورپذیری بالا و هزینه ساخت پایین، امروزه در کاربردهای نظامی و غیرنظامی متنوعی مورد استفاده قرار می گیرند و کنترل این نوع ربات پرنده از اهمیت بسزایی برخوردار است و برای کنترل راحت تر کوادکوپتر، از عملگرهای تیلر استفاده می شود. در این مقاله هدف، ارائه یک مدل دینامیکی فازی برای یک نوع تیلر روتور، و سپس کنترل وضعیت و موقعیت به کمک کنترلرهای ترکیبی مود لغزشی و PD، و نیز یک نوع کنترلر نظارتی، و در ادامه تخمین کنترلرهای طراحی شده برای تیلر روتور، با استفاده از سیستم های تخمین گر فازی و روش خوشه بندی Fuzzy C-means می باشد. در نهایت نیز، عملکرد این کنترلرهای فازی طراحی شده، بر روی مدل دینامیکی فازی ارزیابی خواهد شد. این روش در ناحیه آموزش دیده توسط سیستم فازی به خوبی و با خطای کمتر از ۰.۱ درصد قادر به تقریب ورودی های کنترلی مربوط به مود لغزشی می باشد. به علاوه این روش دارای ویژگی هایی نظیر تضمین همگرایی و جلوگیری از پدیده چترینگ می باشد. نتایج این کنترلر نشان می دهد که کنترل کننده فازی قادر به تعقیب مسیر دلخواه در ناحیه آموزش دیده می باشد. در گام آخر نیز کنترل کننده مود لغزشی به عنوان کنترل کننده نظارتی در نظر گرفته شده است به طوری که کنترلر قادر به کنترل تمامی حالات در نواحی دور از نقطه تعادل می باشد. نتایج آن نیز نشان داده شده است.

واژه های کلیدی

کوادکوپتر، تیلر روتور، خوشه بندی، مدل فازی، کنترل مود لغزشی، کنترل نظارتی

۱- مقدمه

کوادکوپترها به عنوان یکی از محبوب ترین پلتفرم های پرواز و فرود عمودی، امروزه کاربردهای گسترده ای را در زمینه های نظامی و همچنین صلح آمیز، به نمایش گذاشته اند. از این نوع پهپادها در عملیات های مختلف همچون نظارت، اکتشاف، جست و جو و نجات و بسیاری امور دیگر استفاده می گردد. از جمله دلایل این کاربرد وسیع می توان به مانورپذیری بالا، طراحی ساده و هزینه به نسبت پایین ساخت آن اشاره نمود [1].

کوادکوپترها به دلیل آن که تعداد ورودی های کنترلی آن ها، یعنی سرعت زاویه ای موتورها، از تعداد خروجی هایشان، یعنی جابه جایی های خطی و زاویه ای، کمتر است، همواره به عنوان یک سیستم فروتحرک شناخته می شوند. این بدین معناست که نمی توان به کمک این ورودی های کنترلی،

خروجی ها را به صورت مستقل از هم، به سمت یک مقدار دلخواه هدایت نمود. در صورتی که در یک تیلر روتور که بدنه موتورها حول بازوی اتصال آن ها به قسمت مرکزی کوادکوپتر، قابلیت دوران دارد، در اثر افزایش تعداد ورودی های کنترلی، می توان هر یک از خروجی ها را به صورت مستقل کنترل نمود. مزیت دیگر این نوع کوادکوپترها آن است که در صورت از کار افتادگی یکی از موتورها، کوادکوپتر همچنان قادر به کنترل وضعیت خود و ادامه دادن عملیات خواهد بود [2].

در پروژه انجام گرفته توسط فردوس و همکاران [3]، با توجه به تفاوت دینامیک یک کوادکوپتر واقعی با مدل های دینامیکی غیر خطی موجود، یک الگوریتم شناسایی سیستم و کنترل وضعیت به کمک روش های خوشه بندی فازی انجام گرفته است. در مقاله ارائه شده توسط میرزایی و همکاران [4]، یک نوع کنترل مقاوم فازی طراحی شده که این متد، به خوبی از مزیت های کنترلر تطبیقی مود لغزشی و کنترل فازی به منظور کنترل وضعیت و موقعیت کوادکوپترها بهره برده است. در مقاله ارائه شده توسط مندز و همکاران [5]، یک نوع الگوریتم تعقیب اشیا و پرهیز از برخورد با موانع موجود در صحنه، بر پایه بینایی و به کمک روش های کنترل فازی، بر روی یک کوادکوپتر پیاده سازی شده و نتایج آن به صورت عملی بر روی یک نمونه واقعی پیاده سازی شده است.

در مقاله ارائه شده توسط الکسیس و همکاران [6]، عملیات طراحی و کنترل عملی یک نوع تیلر روتور شامل دو موتور با قابلیت دوران حول بازوی اتصال آن ها به بدنه، انجام گرفته است. در پروژه انجام گرفته توسط اوسدو و همکاران نیز [7]، کنترل یک تیلر روتور کوادکوپتر شامل هشت ورودی، در گستره وسیعی از وضعیت ها انجام پذیرفته است. به علاوه، در مقاله ارائه شده توسط آلمیدا و همکاران [8]، کنترل غیر خطی نوعی تیلر روتور حمل کننده بار، به منظور حفظ پایداری پرنده و بار در طول مسیر، در حضور برخی عدم قطعیت ها و خطاهای محاسباتی انجام گرفته است. در حقیقت، یک نوع کنترلر آشناری سه مرحله ای در این پروژه طراحی شده که هر سطح از آن، شامل یک قانون کنترلی خطی سازی فیدبک می باشد. در نهایت نیز نتایج استفاده از این نوع کنترلر، با کنترلر ساده تری که بار را به عنوان یک اغتشاش در نظر گرفته، مقایسه می گردد.

در فاز اول این پروژه، عملیات کنترل وضعیت یک نوع تیلر روتور، با فرض آنکه تمامی موتورها سالم بوده و از کار افتادگی موتور اتفاق نیفتد، انجام می گیرد. کنترل وضعیت در این حالت، به وسیله یک الگوریتم کنترل مود لغزشی مقاوم به همراه کنترلرهای PD انجام شده و در نهایت به کمک داده های تولید شده توسط این کنترلرها، مدل دینامیکی سیستم غیر خطی اولیه به روش فازی تخمین زده می شود.

در شکل ۱، صفحات خط چین بیانگر صفحه پره‌های هر یک از موتورها، در حالت بدون دوران می‌باشد. در مقابل صفحات با خطوط توپر، بیانگر صفحه پره‌های هر یک از موتورها، پس از ایجاد دوران در زاویه بدنه موتورها می‌باشد. در این تحقیق فرض بر آن است که زاویه دوران بدنه هر یک از جفت موتورهای روبه‌رو، هم‌اندازه و هم‌جهت است. به علاوه، زوایای اوپلری با نمادهای ϕ ، θ و ψ نمایش داده می‌شوند. برای انتقال نیروها و ممان‌ها از دستگاه مختصات بدنه کوادکوپتر به دستگاه اینرسی، از ماتریس تبدیل مطابق رابطه (۱) استفاده می‌شود. در این رابطه، نماد C معادل با کسینوس و نماد S معادل با سینوس می‌باشد.

$$R = \begin{bmatrix} c\psi c\theta - s\psi s\theta s\phi & -s\psi c\phi & c\psi s\theta + c\theta s\phi s\psi \\ s\psi c\theta + c\psi s\theta s\phi & c\psi c\phi & s\psi s\theta - c\theta s\phi s\psi \\ -c\phi s\theta & s\phi & c\phi c\theta \end{bmatrix} \quad (۱)$$

رابطه سینماتیکی بین سرعت‌های زاویه‌ای حول دستگاه بدنه کوادکوپتر و دستگاه اینرسی نیز مطابق رابطه (۲) می‌باشد.

$$\begin{bmatrix} \dot{\phi} \\ \dot{\theta} \\ \dot{\psi} \end{bmatrix} = \begin{bmatrix} 1 & \sin(\psi)\tan(\theta) & \cos(\phi)\tan(\theta) \\ 0 & \cos(\phi) & -\sin(\phi) \\ 0 & \sin(\phi)\sec(\theta) & \cos(\phi)\sec(\theta) \end{bmatrix} \begin{bmatrix} p \\ q \\ r \end{bmatrix} \quad (۲)$$

مقادیر p ، q و r بیانگر این سرعت‌های زاویه‌ای در دستگاه مختصات بدنه کوادکوپتر می‌باشد. معادلات حرکت خطی در راستای x ، y و z در دستگاه مختصات اینرسی مطابق روابط (۳) تا (۵)، معادلات حرکات زاویه‌ای در همین دستگاه مطابق با روابط (۶) تا (۸) و مقادیر ورودی‌های u_1 تا u_4 در روابط (۹) تا (۱۲) ارائه شده است.

$$\ddot{x} = \frac{1}{m} (F_1 + F_3) \sin\theta_1 (\cos\phi \sin\psi - \cos\psi \sin\phi \sin\theta) - C_1 \dot{x} \quad (۳)$$

$$+ (\sin\phi \sin\psi + \cos\phi \cos\psi \sin\theta) u_1 + \frac{1}{m} (F_2 + F_4) (\sin\theta_2 \cos\psi \cos\theta)$$

$$\ddot{y} = -\frac{1}{m} (F_1 + F_3) \sin\theta_1 (\cos\phi \cos\psi + \sin\psi \sin\phi \sin\theta) - C_2 \dot{y} \quad (۴)$$

$$- (\sin\phi \cos\psi - \cos\phi \sin\psi \sin\theta) u_1 + \frac{1}{m} (F_2 + F_4) (\sin\theta_2 \sin\psi \cos\theta)$$

$$\ddot{z} = -\frac{1}{m} (F_2 + F_4) \sin\theta_2 \sin\theta - \frac{1}{m} \cos\theta \sin\phi \sin\theta_1 (F_1 + F_3) \quad (۵)$$

$$- g - C_3 \dot{z} + (\cos\phi \cos\theta) u_1$$

$$\ddot{\phi} = u_2 + \frac{qr}{I_x} (I_y - I_z) - \frac{IC_4 \dot{\phi}}{I_x} \quad (۶)$$

$$\ddot{\theta} = u_3 + \frac{pr}{I_y} (I_z - I_x) - \frac{IC_5 \dot{\theta}}{I_y} \quad (۷)$$

$$\ddot{\psi} = u_4 + \frac{pq}{I_z} (I_x - I_y) - \frac{IC_6 \dot{\psi}}{I_z} \quad (۸)$$

$$u_1 = \frac{1}{m} (F_1 \cos\theta_1 + F_2 \cos\theta_2 + F_3 \cos\theta_1 + F_4 \cos\theta_2) \quad (۹)$$

$$u_2 = \frac{1}{I_x} (M_2 + M_4) \sin\theta_2 + \frac{l}{I_x} (F_2 - F_4) \cos\theta_2 \quad (۱۰)$$

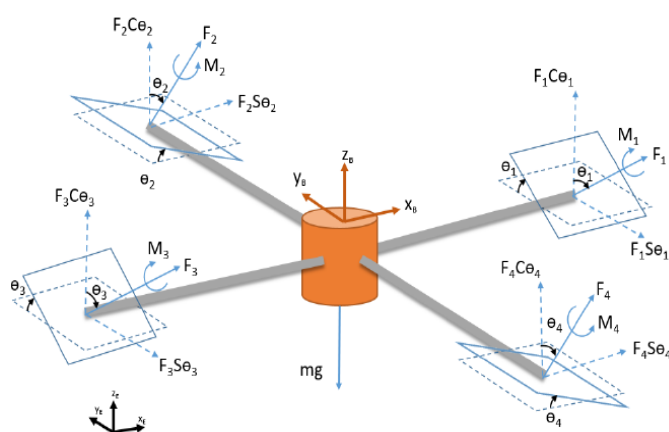
$$u_3 = \frac{1}{I_y} (M_1 + M_3) \sin\theta_1 - \frac{l}{I_y} (F_1 - F_3) \cos\theta_1 \quad (۱۱)$$

در گام دوم، هدف فازی سازی کنترلر مود لغزشی طراحی شده در فاز قبلی و نمایش نتایج بدست آمده از کنترلر فازی و ارزیابی عملکرد آن در تعقیب مستقل از هم هر یک از خروجی‌های سیستم غیرخطی، در مقایسه با کنترلر غیرفازی می‌باشد. در گام بعدی از این مقاله، هدف طراحی یک کنترلر ترکیبی برای سیستم غیر خطی اولیه، شامل یک کنترلر فازی که عملکرد مطلوب آن در داخل یک ناحیه مشخص است، و یک کنترلر نظارتی به منظور هدایت حالت‌های سیستم به ناحیه مذکور، در صورت انحراف متغیرهای حالت از این ناحیه می‌باشد. ذکر این نکته ضروری است که عملکرد این کنترلرهای فازی طراحی شده، بر روی مدل دینامیکی فازی ارزیابی خواهد شد.

۲- مدل دینامیکی [9]

در این بخش، دینامیک کوادکوپتر و روابط حاکم بر حرکت آن ارائه می‌گردد. در این نوع کوادکوپتر، تعداد ورودی‌ها برابر هشت می‌باشد که چهار عدد از آن مربوط به سرعت چرخش پره‌های هر یک از چهار موتور، که تولید کننده نیروهای پیشران است، می‌باشد و ۴ عدد دیگر آن، مربوط به زاویه دوران بدنه موتورها است که این ورودی‌ها، در حقیقت باعث تغییر یافتن جهت نیروهای پیشران می‌شود. علاوه بر این از تمامی آثار ایرودینامیکی به جز نیروهای لیفت و درگ، تغییر ممان اینرسی سیستم در اثر دوران بدنه موتورها و نیز اثرات ژیروسکوپی چرخش پره موتورها صرف نظر گردیده است.

شکل ۱، نمودار جسم آزاد کوادکوپتر مدنظر را نمایش می‌دهد. در این شکل، دستگاه مختصات E ، همان دستگاه مختصات اینرسی است که تمامی جابه‌جایی‌های خطی و زاویه‌ای نسبت به این دستگاه بیان می‌گردد. دستگاه مختصات B نیز، دستگاه مختصات متصل به بدنه کوادکوپتر در مرکز جرم آن می‌باشد. هر یک از موتورها در اثر چرخش پره‌ها، یک نیروی پیشران در جهت عمود بر صفحه دربرگیرنده پره‌ها تولید می‌نمایند. چرخش پره‌ها علاوه بر ایجاد این نیروی پیشران، باعث ایجاد ممان عکس‌العمل که از طرف هوا به پره‌ها و در نتیجه کوادکوپتر وارد شده، می‌گردد. با توجه به آن که جهت چرخش پره‌ها در موتورهای ۱ و ۳ یکسان و خلاف جهت چرخش پره‌های موتورهای ۲ و ۴ است، در نتیجه جهت این ممان عکس‌العمل، در موتورهای ۱ و ۳ یکسان و در خلاف ممان عکس‌العمل موتورهای ۲ و ۴ خواهد بود. علاوه بر این، بدنه هر یک از موتورها نیز قادر است تا به کمک یک سروو، حول بازوی متصل شونده به آن دوران نماید.



شکل ۱- دیاگرام جسم آزاد کوادکوپتر [9]

با قرار دادن $\dot{s}_1 = -\varepsilon_1 \operatorname{sgn}(s_1) - \eta_1 s_1$ و قرار دادن آن در رابطه (۱۵)، و سپس جایگزین نمودن \ddot{z} از رابطه (۵)، رابطه (۱۶) حاصل می‌گردد.

$$u_1 = \frac{1}{\cos \phi \cos \theta} \left[o_z (\dot{z}_d - \dot{z}) + \ddot{z}_d + \frac{1}{m} (F_2 + F_4) \sin \theta_2 \sin \theta + \frac{1}{m} (F_1 + F_3) \cos \theta \sin \phi \sin \theta_1 + g + C_3 \dot{z} + \varepsilon_1 \operatorname{sgn}(s_1) + \eta_1 s_1 \right] \quad (16)$$

با انجام عملیات مشابه و جایگزین نمودن $\ddot{\psi}$ از رابطه (۸) رابطه (۲۰) حاصل می‌گردد.

$$s_2 = o_\psi (\psi_d - \psi) + (\dot{\psi}_d - \dot{\psi}) \quad (17)$$

$$\dot{s}_2 = o_\psi (\dot{\psi}_d - \dot{\psi}) + (\ddot{\psi}_d - \ddot{\psi}) \quad (18)$$

$$\dot{s}_2 = -\varepsilon_2 \operatorname{sgn}(s_2) - \eta_2 s_2 \quad (19)$$

$$u_4 = -\frac{pq}{I_z} (I_x - I_y) + \frac{I C_6 \dot{\psi}}{I_z} + o_\psi (\psi_d - \psi) + \ddot{\psi}_d + \varepsilon_2 \operatorname{sgn}(s_2) + \eta_2 s_2 \quad (20)$$

به طریق مشابه، سطوح لغزشی برای متغیرهای $[x, \theta]$ و $[y, \phi]$ طراحی شده تا به ترتیب به سمت مقادیر مطلوب $[x_d, \theta_d]$ و $[y_d, \phi_d]$ میل نمایند.

$$s_3 = o_1 (\dot{x}_d - \dot{x}) + o_2 (x_d - x) + o_3 (\dot{\theta}_d - \dot{\theta}) + o_4 (\theta_d - \theta) \quad (21)$$

$$\dot{s}_3 = o_1 (\ddot{x}_d - \ddot{x}) + o_2 (\dot{x}_d - \dot{x}) + o_3 (\ddot{\theta}_d - \ddot{\theta}) + o_4 (\dot{\theta}_d - \dot{\theta}) \quad (22)$$

$$\dot{s}_3 = -\varepsilon_3 \operatorname{sgn}(s_3) - \eta_3 s_3 \quad (23)$$

با جایگزین نمودن رابطه (۲۳) در رابطه (۲۲) و سپس جایگزین نمودن $\ddot{\theta}$ از رابطه (۷)، رابطه (۲۴) حاصل می‌گردد.

$$u_3 = \frac{1}{o_3} \left[o_1 (\ddot{x}_d - \ddot{x}) + o_2 (\dot{x}_d - \dot{x}) + o_3 \ddot{\theta}_d + o_4 (\dot{\theta}_d - \dot{\theta}) + \varepsilon_3 \operatorname{sgn}(s_3) + \eta_3 s_3 + \frac{o_3 I C_5 \dot{\theta}}{I_y} - \frac{o_3 p r}{I_y} (I_z - I_x) \right] \quad (24)$$

انجام عملیات مشابه بر روی متغیر حالت ϕ به کمک سطوح لغزشی تعریف شده در زیر، رابطه (۲۸) را نتیجه می‌دهد.

جرم کل کوادکوپتر	m
شتاب گرانش	g
ضرایب درگ خطی	$C_i (i = 1, 2, 3)$
ورودی کنترلی معادل با برآیند نیروهای پیشران	u_1
نیروی پیشران تولید شده توسط هر یک از موتورها	$F_i (i = 1, 2, 3, 4)$
سرعت زاویه‌ای چرخش پره‌ها در هر یک از موتورها	$\omega_i (i = 1, 2, 3, 4)$
ضریب پیشران	b
طول بازوی بدنه موتور از مرکز جرم کوادکوپتر	l
ممان‌های اینرسی کوادکوپتر حول هر یک از محوره‌های بدنه	I_z و I_y , I_x
ضرایب درگ چرخشی	$C_i (i = 4, 5, 6)$
ورودی‌های کنترلی به منظور کنترل roll, pitch و yaw	u_4 و u_3 , u_2
ممان‌های عکس‌العمل در اثر چرخش پره‌ها	$M_i (i = 1, 2, 3, 4)$
ضریب ممان	k

جدول ۱- متغیرها و پارامترهای موجود در معادلات دینامیکی کوادکوپتر

$$u_4 = -\frac{1}{I_z} (M_1 \cos \theta_1 - M_2 \cos \theta_2 + M_3 \cos \theta_1 - M_4 \cos \theta_2) \quad (12)$$

$$-\frac{l}{I_z} (F_1 \sin \theta_1 + F_2 \sin \theta_2 - F_3 \sin \theta_1 - F_4 \sin \theta_2)$$

در این معادلات، نیروی جلوبرنده و گشتاور عکس‌العمل وارد شده بر هر موتور از روابط (۱۳) محاسبه خواهند شد.

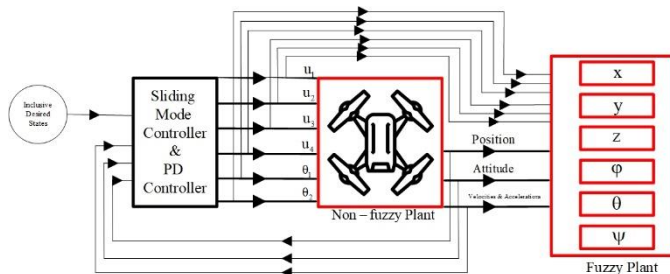
$$F_i = b \omega_i^2 \quad (13)$$

$$M_i = k \omega_i^2$$

متغیرها و پارامترهای ذکر شده در روابط پیشین در جدول ۱ آورده شده است.

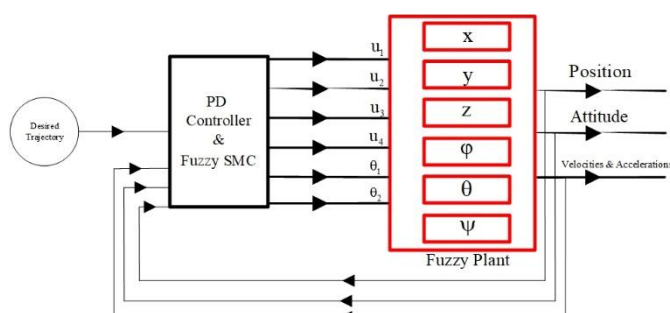
۳- کنترل کننده ترکیبی مود لغزشی و تناسبی-مشتق‌گیر

در این بخش، یک الگوریتم کنترل مود لغزشی [9] در کنار یک کنترلر تناسبی-مشتق‌گیر به منظور تعقیب بدون خطای موقعیت و وضعیت کوادکوپتر ارائه می‌گردد. از این کنترلر طراحی شده در ادامه به منظور فازی‌سازی معادلات دینامیکی تیلر روتور استفاده می‌گردد. این فرایند در شکل ۲، به صورت شماتیک نمایش داده شده است.



شکل ۲- طراحی کنترلر مود لغزشی و استفاده از آن به منظور فازی‌سازی مدل دینامیکی سیستم

سپس این کنترلر نیز فازی‌سازی شده و عملکرد آن بر روی مدل دینامیکی فازی ارزیابی می‌گردد. این عملیات نیز به صورت شماتیک در شکل ۳ قابل مشاهده است.



شکل ۳- فازی‌سازی کنترلر مود لغزشی و ارزیابی عملکرد آن بر روی مدل دینامیکی فازی

۳-۱- کنترل کننده مود لغزشی

به منظور طراحی این کنترلر، سطوح لغزشی بر حسب خطاهای تعقیب، طراحی شده و این خطاهای تعقیب به کمک اصول کنترل غیر خطی به سمت صفر رانده می‌شود تا عملکرد مطلوب کنترلر حاصل گردد.

$$s_1 = o_z (\dot{z}_d - \dot{z}) + (\ddot{z}_d - \ddot{z}) \quad (14)$$

بنابراین،

$$\dot{s}_1 = o_z (\ddot{z}_d - \ddot{z}) + (\dddot{z}_d - \dddot{z}) \quad (15)$$

$$\theta_{2,h} = 2\theta_{d,h} + k_{ph,pitch}(\theta_{dh} - \theta) + k_{dh,pitch}(\dot{\theta}_d - \dot{\theta}) \quad (35)$$

$$\theta_{2,pitch} = 0 \quad (36)$$

در این روابط نیز، مقدار زاویه θ مطلوب در هنگام hovering و $k_{ph,pitch}$ و $k_{dh,pitch}$ به ترتیب ضرایب کنترلی تناسبی و مشتق‌گیر می‌باشند.

هنگامی که $\theta_{d,h} = 0$

$$\theta_{2,pitch} = \delta\theta_d \quad (37)$$

$$\theta_{2,h} = 0 \quad (38)$$

$$u_5 = \theta_{1d} = -(\theta_{1,h} + \theta_{1,roll}) \quad (39)$$

$$u_6 = \theta_{2d} = -(\theta_{2,h} + \theta_{2,pitch}) \quad (40)$$

ضرایب طراحی شده در این بخش به منظور دستیابی به عملکرد مطلوب کنترلر مود لغزشی در کنار کنترلر PD، در تعقیب مستقل از هم هر یک از ۶ متغیر حالت x، y، z، φ ، θ و ψ در جدول ۲ آورده شده است.

۰/۲	$\varepsilon_i (i = 1, 2, 3, 4)$
۲	$\eta_i (i = 1, 2, 3, 4)$
۰/۲	o_ψ
۰/۲	o_z
۱۰۰	k_{p1}
۵	k_{d1}
۲۰	k_u
۲/۰۶	T_u
$-۰/۸ \times k_u$	k_{p2}
$-۰/۱ \times k_u \times T_u$	k_{d2}
۲۰	$k_{ph,roll}$
۵	$k_{dh,roll}$
۵	$k_{ph,pitch}$
۰	$k_{dh,pitch}$

جدول ۲- ضرایب طراحی شده در کنترلر مود لغزشی و کنترلرهای PD

پس از اتمام طراحی کنترلر مود لغزشی و کنترلر PD، نوبت به نمایش نتایج پیاده‌سازی آن بر روی سیستم غیرخطی اولیه می‌رسد. بدین منظور، مقادیر مطلوب برای متغیرهای حالت x، y و z طوری در نظر گرفته می‌شود که کوادکوپتر، یک مسیر مارپیچ (فتری شکل) را طی نماید. علاوه بر این، مقادیر مطلوب متغیرهای حالت φ ، θ و ψ نیز سینوسی با دامنه‌های متفاوت از هم در نظر گرفته می‌شود. شکل ۴ نمایانگر نمودارهای ورودی‌های کنترلی تولید شده توسط کنترلر مود لغزشی و شکل ۵ نمایانگر مقادیر زوایای تیلت تولید شده توسط کنترلرهای PD می‌باشد.

$$s_4 = o_5(\dot{y}_d - \dot{y}) + o_6(y_d - y) + o_7(\dot{\phi}_d - \dot{\phi}) + o_8(\phi_d - \phi) \quad (25)$$

$$\dot{s}_4 = o_5(\ddot{y}_d - \ddot{y}) + o_6(\dot{y}_d - \dot{y}) + o_7(\ddot{\phi}_d - \ddot{\phi}) + o_8(\dot{\phi}_d - \dot{\phi}) \quad (26)$$

$$\dot{s}_4 = -\varepsilon_4 \operatorname{sgn}(s_4) - \eta_4 s_4 \quad (27)$$

$$u_2 = \frac{1}{o_7} \left[o_5(\ddot{y}_d - \ddot{y}) + o_6(\dot{y}_d - \dot{y}) + o_7\ddot{\phi}_d + o_8(\dot{\phi}_d - \dot{\phi}) + \varepsilon_4 \operatorname{sgn}(s_4) + \eta_4 s_4 + \frac{o_7 l C_4 \dot{\phi}}{I_x} - \frac{o_7 q r}{I_x} (I_y - I_z) \right] \quad (28)$$

ضرایب $o_i (i = 1, 2, \dots, 8)$ موجود در روابط کنترل کننده مود لغزشی، به شکل نوشته شده در زیر می‌باشد. علاوه بر این، تمامی ضرایب O_ψ ، O_z ، $\eta_i (i = 1, 2, 3, 4)$ و $\varepsilon_i (i = 1, 2, 3, 4)$ مقادیری مثبت در نظر گرفته‌اند.

$$o_1 = \frac{11m}{\cos \phi \cos \psi u_1 m - (F_1 + F_3) \sin \theta_1 \cos \psi \sin \phi}, o_3 = 1$$

$$o_2 = \frac{6m}{\cos \phi \cos \psi u_1 m - (F_1 + F_3) \sin \theta_1 \cos \psi \sin \phi}, o_4 = 6$$

$$o_5 = \frac{11m}{\cos \psi u_1 m - (F_1 + F_3) \sin \theta_1 \sin \psi \sin \theta}, o_7 = 1$$

$$o_6 = \frac{6m}{\cos \psi u_1 m - (F_1 + F_3) \sin \theta_1 \sin \psi \sin \theta}, o_8 = 6$$

۲-۳- کنترل کننده PD

همانطور که پیش‌تر ذکر گردید، در این نوع کوادکوپتر، چهار عدد سروو موتور نیز در انتهای هر یک از چهار بازوی متصل کننده قسمت مرکزی بدنه به موتورهای اصلی وجود دارد که این سروو موتورهای باعث دوران بدنه موتورهای اصلی می‌گردند. این ورودی‌های اضافی باعث می‌شود تا کوادکوپتر بتواند هر مسیر دلخواهی را تعقیب نماید. کنترلرهای PD طراحی شده در این قسمت [8] باعث می‌شوند تا در هنگام پرواز، کوادکوپتر قادر باشد تا مقادیر φ و θ دلخواه را داشته باشد.

$$\delta\theta_d = k_{p1}(\theta_d - \theta) + k_{d1}(\dot{\theta}_d - \dot{\theta}) \quad (29)$$

$$\delta\phi_d = k_{p2}(\phi_d - \phi) + k_{d2}(\dot{\phi}_d - \dot{\phi}) \quad (30)$$

هنگامی که $\phi_{d,h} \neq 0$

$$\theta_{1,h} = -[2\phi_{d,h} + k_{ph,roll}(\phi_{d,h} - \phi) + k_{dh,roll}(\dot{\phi}_d - \dot{\phi})] \quad (31)$$

$$\theta_{1,roll} = 0 \quad (32)$$

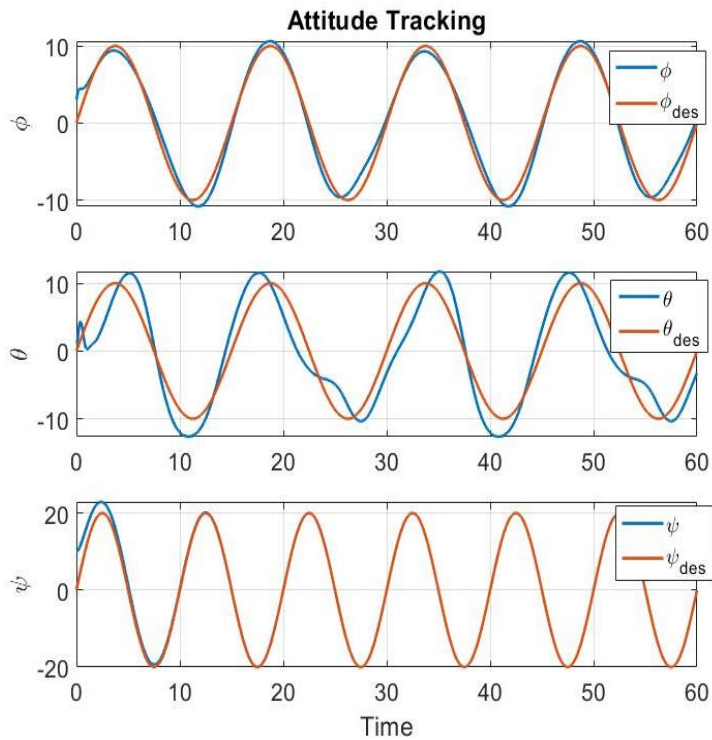
در این روابط، مقدار زاویه roll مطلوب در هنگام hovering و $k_{ph,roll}$ و $k_{dh,roll}$ به ترتیب ضرایب کنترلی تناسبی و مشتق‌گیر می‌باشند.

هنگامی که $\phi_{d,h} = 0$

$$\theta_{1,roll} = \delta\phi_d \quad (33)$$

$$\theta_{1,h} = 0 \quad (34)$$

به طریق مشابه، هنگامی که $\theta_{d,h} \neq 0$



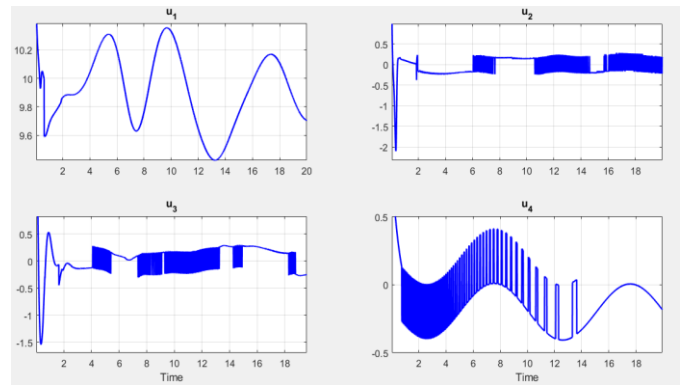
شکل ۷- تعقیب زوایای وضعی بدنه

۴- شناسایی مدل دینامیکی با سیستم های فازی

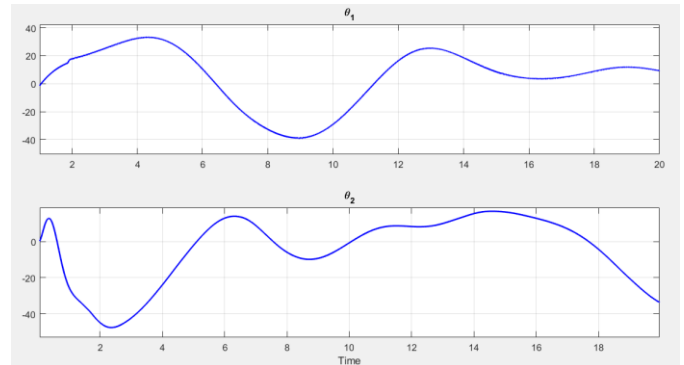
روش های متعددی برای تخمین مدل سیستم با استفاده از سیستم های فازی موجود می باشد. ۱- روش جدول ارجاع ۲- روش گرادیان کاهشی ۳- روش حداقل مربعات بازگشتی ۴- روش خوشه بندی نزدیک ترین همسایه. هر کدام از روش های بالا دارای مزایا و معایب خاص خود می باشند. روش های جدول ارجاع به داده و زمان زیاد نیاز دارند همچنین بهینه نیستند، ولی روش های گرادیان نزولی بهینه اند، اما از طرفی، اغلب در بهینه محلی به دام می افتند. همچنین برای داده های زیاد به دلیل آنکه تعداد قوانین افزایش می یابد به زمان زیادی نیاز دارند. روش حداقل مربعات بازگشتی که خطای کل داده ها را کاهش می دهد نیز محدود به تعداد ورودی و میزان قوانین است. مزیت روش خوشه بندی نزدیک ترین همسایه نسبت به روش های قبلی این است که با تعداد قوانین کمتر در زمان کم به خوبی می تواند رفتار سیستم را تقریب بزند، ولی دارای معایبی نظیر عدم تضمین همگرایی است و به داده های انتخابی اولیه وابستگی شدیدی دارد. به دلیل تعدد ورودی ها و افزایش بیش از حد تعداد توابع عضویت و قوانین فازی، روش خوشه بندی نزدیک ترین همسایه نسبت به بقیه روش ها ترجیح داده می شود. در این تحقیق از روش FCM که یک روش خوشه بندی فازی بهینه است استفاده می شود.

۴-۱- روش خوشه بندی فازی FCM

برخلاف روش های سنتی خوشه بندی مثل روش k-means، این روش با تعریف یک معیار درجه عضویت، به هر داده درون هر خوشه، یک وزن نسبت می دهد که نشان می دهد چقدر به مرکز خوشه نزدیک است. این روش به کمینه سازی مجموع فواصل بین هر نمونه و مراکز خوشه ها کمک می کند. فرض شود تعداد N نمونه وجود دارد و تعداد M قانون برای مدل سازی مورد نیاز باشد. بنابراین نمونه ها $x = \{x_1, x_2, \dots, x_N\}^T$ و مراکز خوشه ها

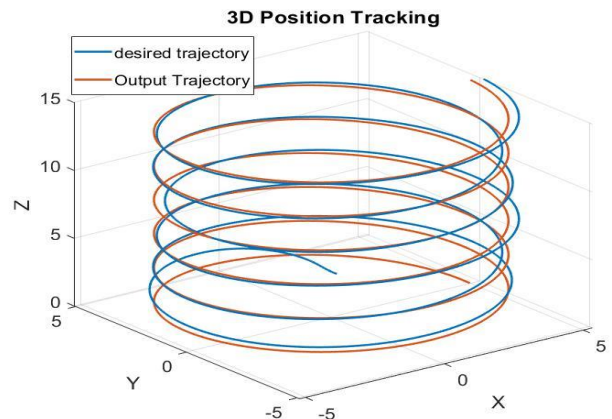


شکل ۴- ورودی های کنترلی کنترلر مود لغزشی



شکل ۵- زوایای تیل

ورودی های شش گانه نمایش داده شده در شکل های ۴ و ۵، باعث می شوند تا کوادکوپتر، مسیر مطلوب مارپیچ را با دقتی مناسب، به مانند شکل ۶، تعقیب نماید.



شکل ۶- تعقیب موقعیت در فضای سه بعدی

همچنین همانطور که پیش تر ذکر گردید، در این حالت تعقیب یک مسیر مارپیچ توسط کوادکوپتر، مقادیر مطلوب سینوسی نیز برای زوایای φ ، θ و ψ در نظر گرفته می شود که مطابق شکل ۷، این مقادیر مطلوب نیز با دقت مناسبی تعقیب شده اند. شکل ۴ نشان می دهد که به دلیل تغییرات ناگهانی تابع علامت استفاده شده در سطوح لغزش، کنترلر مود لغزشی دچار پدیده مضر چترینگ شده، که ضربات شدیدی به سیستم کنترلی وارد می نماید. تخمین کنترلر مود لغزشی با استفاده از سیستم های فازی علاوه بر جلوگیری از بروز چترینگ، مقاومت در برابر نویز و اغتشاش را نیز افزایش می دهد.

مشابه، یک دسته دیگر از داده‌های شامل داده‌های تست (با توابع مطلوب متفاوت) تولید می‌گردد تا عملکرد سیستم‌های فازی طراحی شده، توسط آن‌ها ارزیابی گردد.

به کمک دو دسته داده تولید شده در مرحله قبل، شش سیستم فازی تک خروجی که تخمین زننده متغیرهای حالت x, y, z, φ, θ و ψ هستند، طراحی و تست می‌گردند که در ادامه توضیحاتی در خصوص ورودی‌های هر یک از آن‌ها ارائه خواهد شد.

به منظور تخمین متغیرهای حالت در زمان فعلی، یک سیستم فازی با تعدادی ورودی شامل یکی از ورودی‌های کنترلی ۴ گانه متناظر سیستم دینامیکی و دو مقدار پیشین آن متغیر حالت که معرف دینامیکی سیستم می باشد و نیز مقادیر زوایای تیلت فقط در تخمین متغیرهای حالت خطی برای مدلسازی با دقت بیشتر استفاده شده است که مطابق با روابط (۴۴) تا (۴۹) است.

$$\hat{x}(k+1) = \hat{f}_x(u_1(k), \theta_1(k), \theta_2(k); \hat{x}(k), \hat{x}(k-1)) \quad (44)$$

$$\hat{y}(k+1) = \hat{f}_y(u_1(k), \theta_1(k), \theta_2(k); \hat{y}(k), \hat{y}(k-1)) \quad (45)$$

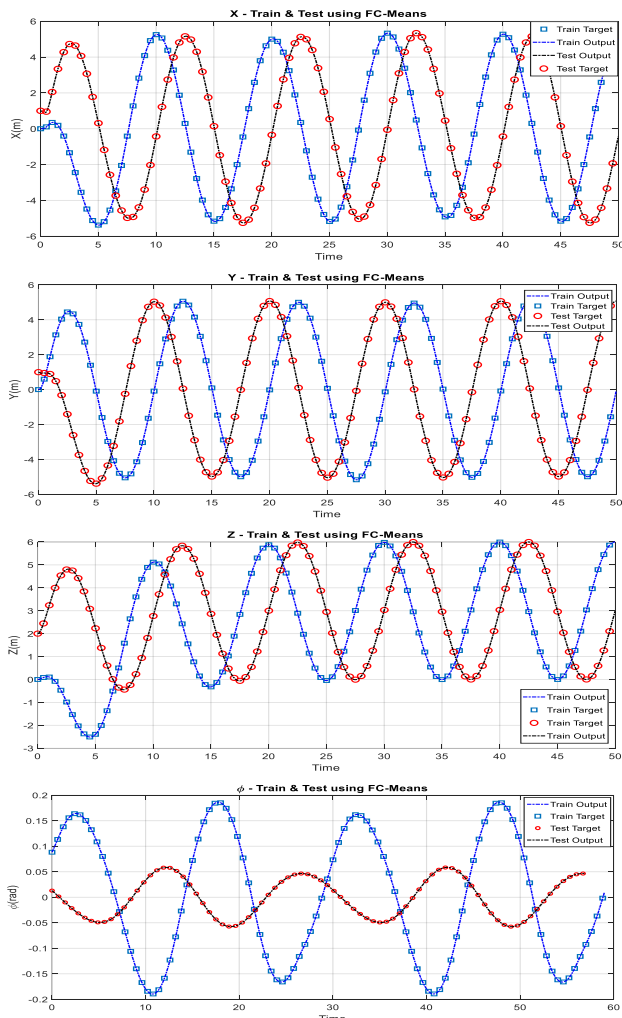
$$\hat{z}(k+1) = \hat{f}_z(u_1(k), \theta_1(k), \theta_2(k); \hat{z}(k), \hat{z}(k-1)) \quad (46)$$

$$\hat{\phi}(k+1) = \hat{f}_{\phi}(u_2(k); \hat{\phi}(k), \hat{\phi}(k-1)) \quad (47)$$

$$\hat{\theta}(k+1) = \hat{f}_{\theta}(u_3(k); \hat{\theta}(k), \hat{\theta}(k-1)) \quad (48)$$

$$\hat{\psi}(k+1) = \hat{f}_{\psi}(u_4(k); \hat{\psi}(k), \hat{\psi}(k-1)) \quad (49)$$

نتایج مربوط به آموزش و تست هر یک این سیستم‌های فازی، به همراه کمیت RMSE در قالب نمودارهای موجود در شکل ۸، نمایش داده شده است.



$$OF = \sum_{i=1}^N \sum_{j=1}^M U_{ij}^q \cdot d(x_i, c_j) \quad (41)$$

که در آن x_i مختصات نمونه‌ها و c_j مختصات مراکز خوشه‌هاست و q که مقداری بیشتر از یک دارد، درجه فازی بودن را نشان می‌دهد. همچنین U_{ij} درجه عضویت یا وزن داده x_i را در خوشه c_j نشان می‌دهد که از روابط (۴۲) قابل مشاهده است و $\sum_{j=1}^M U_{ij} = 1$. همچنین $d(x_i, c_j)$ میزان عدم شباهت را نشان می‌دهد که همان فاصله اقلیدسی است. حال با محاسبه مشتقات جزئی تابع هدف نسبت به مقادیر U_{ij} و c_j و به روز رسانی مراکز خوشه‌ها و وزن‌ها، تابع هدف کمینه می‌شود و زمانی که $U_{ij}(t) - U_{ij}(t-1) < \varepsilon$ به ازای ε عدد مثبت نزدیک صفر، الگوریتم پایان می‌یابد.

$$U_{ij} = \sum_{r=1}^M \left(\frac{d(x_i, c_j)}{d(x_i, c_r)} \right)^{2/(1-q)} \quad (42)$$

$$c_j = \frac{\sum_{i=1}^N (U_{ij}^q \cdot x_i)}{\sum_{i=1}^N U_{ij}^q}$$

۴-۲- فازی سازی مدل دینامیکی

برای مدلسازی دقیق معادلات حرکت تیلت روتور به دیتای مطلوب و تا جای ممکن کاربردی نیاز است. بدست آوردن دیتای دقیق و از نظر کاربردی، عملی، برای تیلت روتور با استفاده از سعی و خطا و ورودی‌های غیر کنترلی، امری دشوار است. بنابراین برای منطقی شدن دیتا می‌توان از کنترلر یا پایدارسازهایی نظیر کنترلر PID و LQR و کنترلرهای غیرخطی نظیر مود لغزشی یا پس‌خوراند خطی‌ساز استفاده نمود. همانطور که پیش‌تر نیز ذکر گردید، به دلیل ویژگی‌هایی نظیر مقاوم بودن در برابر نامعینی‌ها و غیرخطی بودن، کنترلر مود لغزشی برای کنترل تیلت روتور انتخاب شده است. از کنترل کننده PD نیز برای کنترل زوایای تیلت استفاده شده است.

پس از آماده سازی داده‌ها و پیش پردازش، با در نظر گرفتن تعداد خوشه‌های متفاوت مثلاً ۲ یا ۵ خوشه برای هر کدام از درجات آزادی، سیستم به خوبی آموزش دیده است و سپس بر روی نمونه‌های تست نیز پیاده‌سازی شده است. معیار میانگین مجذور مربعات خطا نیز برای هر کدام نشان داده شده است.

$$RMSE = \sqrt{\frac{\sum_{i=1}^n (T_i - O_i)^2}{n}} \quad (43)$$

T_i : Targets, O_i : Outputs

در گام ابتدایی از تخمین مدل دینامیکی سیستم به روش فازی، یک دسته داده مطلوب آموزشی به منظور آنکه هر یک از متغیرهای حالت x, y, z, φ, θ و ψ یک تابع جامع و دلخواه (در اینجا سینوسی) را تعقیب نمایند، به کمک کنترلر مود لغزشی و کنترلرهای PD تولید می‌گردد. سپس به طریق

$$\hat{u}_2(k+1) = \hat{f}(s_4(k), \dot{s}_4(k), \dot{y}(k), \ddot{y}(k), \quad (51)$$

$$\dot{y}_d(k), \ddot{y}_d(k), \hat{u}_2(k), \hat{u}_2(k-1))$$

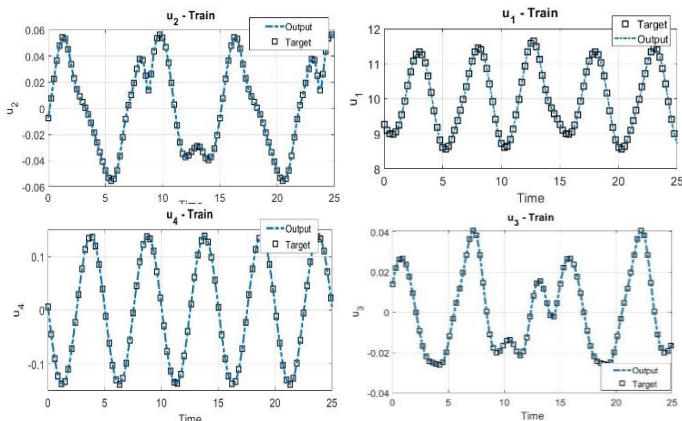
$$\hat{u}_3(k+1) = \hat{f}(s_3(k), \dot{s}_3(k), \dot{x}(k), \quad (52)$$

$$\dot{u}_3(k), \hat{u}_3(k-1))$$

$$\hat{u}_4(k+1) = \hat{f}(s_2(k), \psi(k), \dot{\psi}(k), \ddot{\psi}(k), \quad (53)$$

$$\psi_d(k), \dot{\psi}_d(k), \ddot{\psi}_d(k), \hat{u}_4(k), \hat{u}_4(k-1))$$

نتایج مربوط به فاز آموزش این ۴ ورودی کنترلی در کنترلر مود لغزشی، در شکل ۹ قابل مشاهده است.



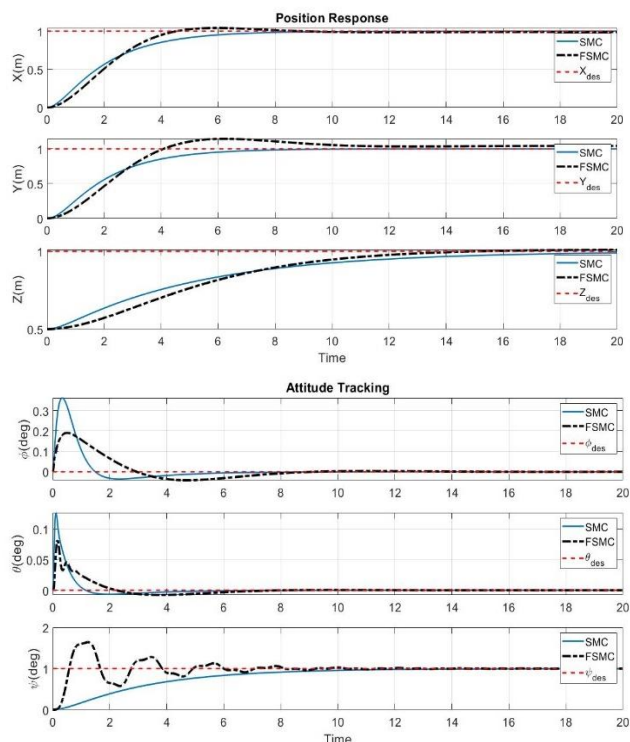
شکل ۹- فاز سازی ورودی‌های کنترلی کنترلر مود لغزشی

پس از انجام عملیات فاز سازی کنترلر مود لغزشی، دو نمونه از نتایج آن در تعقیب مقادیر مطلوب خروجی‌ها در ادامه ذکر خواهد شد.

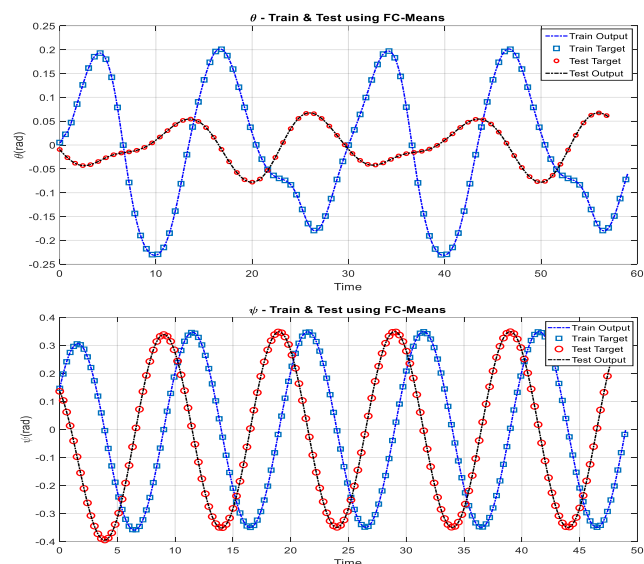
۶- تعقیب مسیر

۶-۱- تعقیب ورودی ثابت:

در اولین نمونه از نتایج این بخش، هدف تعقیب خروجی‌های شش گانه سیستم، به مانند آنچه در شکل ۱۰ نشان داده شده، می‌باشد.



شکل ۱۰- پاسخ سیستم در اولین نمونه از نتایج کنترل فاز ی مود لغزشی



شکل ۸- فاز سازی متغیرهای حالت شش گانه تیل روتور

همانطور که ملاحظه گردید، این شش متغیر حالت، چه در فاز آموزش و چه در فاز تست، با دقت بسیار بالا و مقدار خطای بسیار پایین (مقادیر RMSE بسیار کوچک)، به کمک سیستم‌های فاز ی تخمین زده شده‌اند.

۵- فاز ی سازی کنترلر مود لغزشی

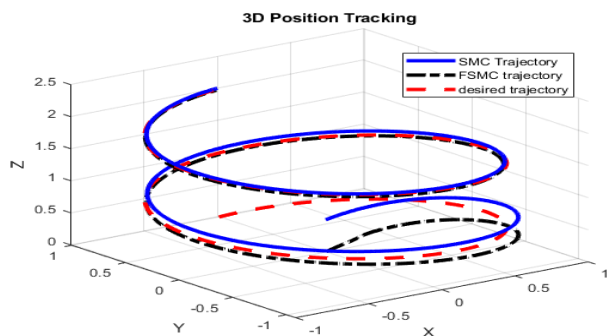
در فاز قبل تمامی حالات کوادکوپتر با استفاده از کنترل کننده مود لغزشی و کنترل کننده‌های PD کنترل شد و نتایج آن ملاحظه گردید. روش های کنترلی زیادی برای کنترل کوادکوپتر وجود دارد، نظیر کنترل کننده خطی PID، کنترل کننده پسخوراند خطی ساز، کنترل کننده مود لغزشی و غیره. کنترل کننده های خطی در عین سادگی محدود به نواحی خطی می‌باشند و برای جمع آوری دیتای غنی در ناحیه غیر خطی مفید نیستند. بنابراین برای غنی سازی دیتای آموزش می توان از کنترلرهای غیر خطی استفاده نمود. کنترل کننده غیر خطی مود لغزشی دارای مزیت هایی نظیر مقاوم بودن در برابر نامعینی ها، عملکرد مطلوب در نواحی غیرخطی و تضمین همگرایی به کمک تابع لیاپانوف است و از طرفی دارای معایبی نظیر امکان ایجاد پدیده ای مضر همانند چترینگ در سیستم می باشد. از طرفی سیستم های فاز ی ذاتاً سیستم های پایداری نیستند ولی قادر به تخمین با دقت بالا می‌باشند. برای تضمین همگرایی کنترل کننده های فاز ی میتوان کنترل کننده مود لغزشی را به سیستم های فاز ی تقریب زد و از طرفی برای جلوگیری پدیده چترینگ در سیستم نیز میتوان از سیستم های فاز ی استفاده نمود. پس به نوعی کنترل کننده مود لغزشی فاز ی قادر به حل هر دو مشکل می باشد.

حال در این قسمت، هدف، تخمین ورودی های کنترلی مورد نیاز برای کنترل تمامی حالات سیستم می باشد. برای این کار ابتدا ورودی های کنترلی تولید شده توسط کنترل کننده مود لغزشی با استفاده از روش FCM تخمین زده می‌شوند. برای تخمین ورودی های کنترلی $u(k+1)$ ، مطابق با روابط (۵۰) تا (۵۳)، همواره به $u(k)$ و $u(k-1)$ و مقادیر سطح لغزش $s(k)$ و $s(k-1)$ نیاز است.

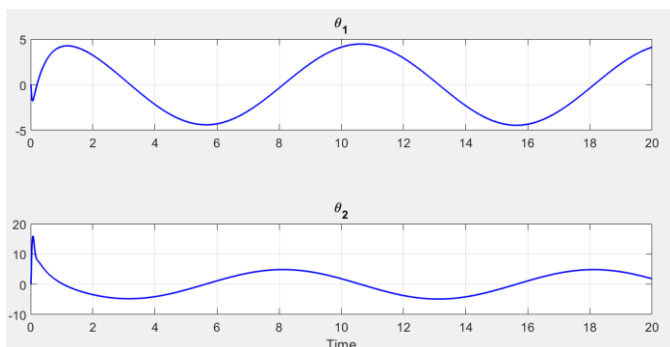
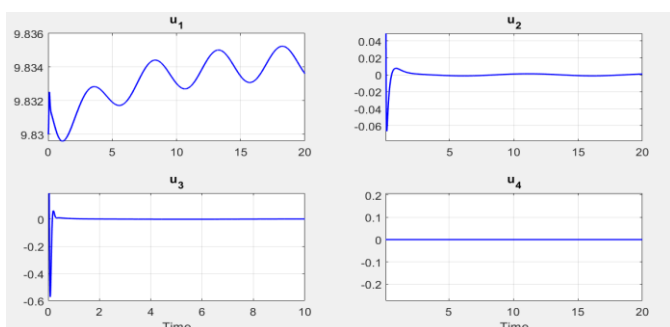
$$\hat{u}_1(k+1) = \hat{f}(s_1(k), \dot{s}_1(k), \dot{z}(k), \ddot{z}(k), \quad (50)$$

$$\dot{z}_d(k), \ddot{z}_d(k), \hat{u}_1(k), \hat{u}_1(k-1))$$

شکل ۱۳ نیز، مسیر طی شده توسط کوادکوپتر، تا رسیدن به مقادیر خروجی مطلوب را نشان می‌دهد.



شکل ۱۳- مسیر تعقیب شده در دومین نمونه از نتایج کنترل فازی مود لغزشی

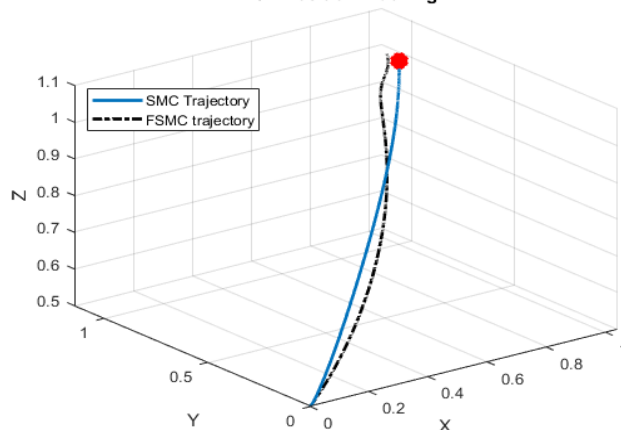


شکل ۱۴ نشان می‌دهد کنترلر مودلغزشی فازی به خوبی قادر به جلوگیری از بروز پدیده چترینگ است و کارایی سیستم کنترلی را افزایش می‌دهد.

۷- کنترلر نظارتی

در این بخش، هدف طراحی یک کنترلر فازی برای کنترل وضعیت کوادکوپتر، در کنار یک کنترلر نظارتگر می‌باشد. به دلیل محدودیت‌های در نظر گرفته شده در حین آموزش سیستم فازی، کنترل کننده فازی فقط در ناحیه ای محدود قادر به همگرایی به سمت حالت مطلوب خواهد بود. در حقیقت کنترلر فازی طراحی شده در این بخش، در یک ناحیه مشخص از متغیرهای حالت عملکرد مطلوب داشته و می‌تواند خروجی‌ها را به سمت مقادیر دلخواه هدایت نماید. به همین دلیل یک کنترلر نظارتی غیرفازی، در کنار کنترلر فازی که کنترل وضعیت را به عهده دارد، قرار گرفته تا در صورتی که مقادیر متغیرهای حالت از ناحیه مذکور خارج شد، این مقادیر را به داخل این ناحیه بازگرداند و سپس خروجی‌ها، توسط کنترلر فازی به سمت توابع مطلوب هدایت می‌شود. با توجه به آنکه کنترلر مود لغزشی طراحی شده در فاز قبل، در یک ناحیه

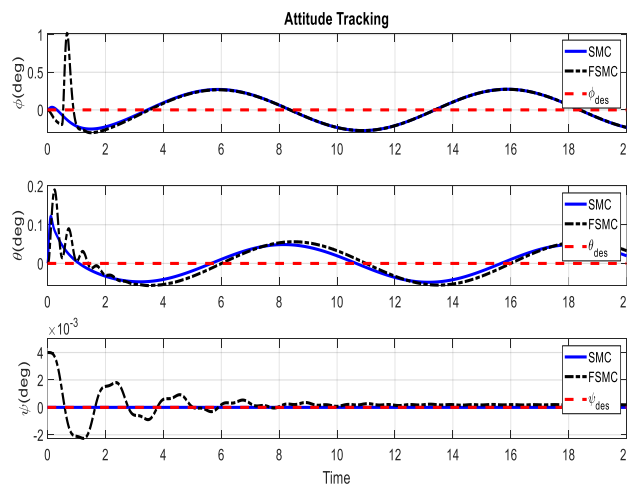
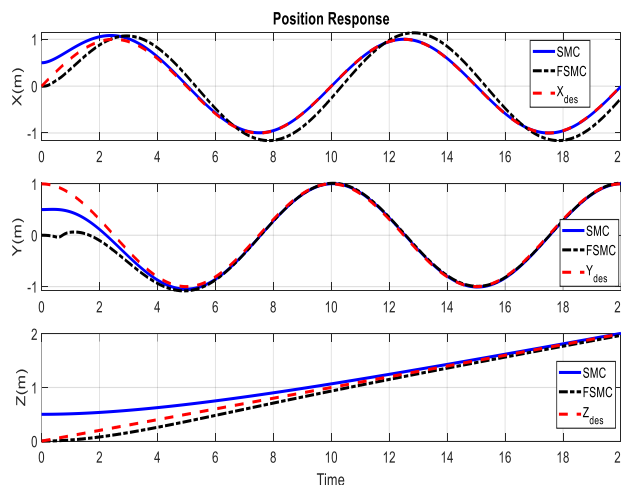
3D Position Tracking



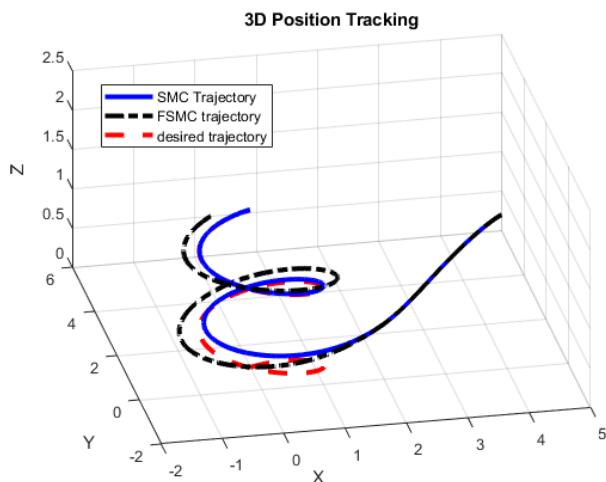
شکل ۱۱- مسیر تعقیب شده در اولین نمونه از نتایج کنترل فازی مود لغزشی

۶-۲- تعقیب مسیر مارپیچی:

در دومین نمونه از نمایش نتایج این بخش، بر خلاف نمونه اول که مقادیر مطلوب خروجی‌ها، به صورت مقادیر ثابت بود، هدف هدایت نمودن خروجی‌های سیستم به سمت مقادیر مطلوب متغیر با زمان (به منظور تعقیب یک مسیر مارپیچ توسط کوادکوپتر) می‌باشد. شکل ۱۲، این مقادیر مطلوب را به همراه پاسخ سیستم به ازای هر شش خروجی آن نمایش می‌دهد.



شکل ۱۲- پاسخ سیستم در دومین نمونه از نتایج کنترل فازی مود لغزشی

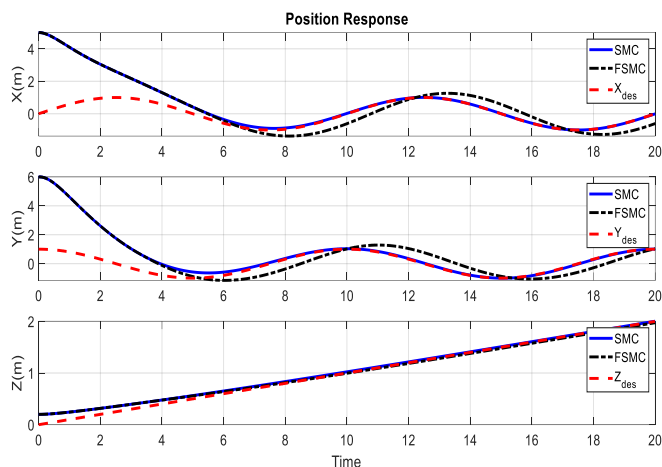


شکل ۱۶- مسیر طی شده در حضور کنترلر نظارتی

۸- نتیجه‌گیری و جمع‌بندی

در این مقاله، در ابتدا پس از ارائه معادلات دینامیکی حاکم بر سیستم، به کنترل نوعی تیلت روتور با استفاده از کنترل کننده غیر خطی مود لغزشی برای کنترل تمامی حالات سیستم، اقدام شده و همچنین برای کاهش اثر تغییر حالات سیستم بر روی حالات دیگر از کنترل کننده PD استفاده شده است. پس از جمع‌آوری دیتای کاربردی و مقایسه روش‌های مختلف مدل‌سازی فازی سیستم‌های دینامیکی، حرکت این نوع کوادکوپتر، به کمک استفاده از الگوریتم بهینه خوسه بندی FCM و جمع‌آوری داده‌های آموزشی سیستم فازی با الهام گرفتن از حرکات واقعی کوادکوپتر، ملاحظه گردید که این سیستم فازی طراحی شده با دقت مناسبی می‌تواند رفتار دینامیکی کوادکوپتر را به خوبی پیش‌بینی نماید. در ادامه، با توجه به آنکه در فاز قبلی، عملیات طراحی کنترلر مود لغزشی برای کوادکوپتر ذکر شده ارائه گردید، عملیات فازی سازی این کنترلر به کمک داده‌های جامع و غنی انجام گرفت و نتایج استفاده از این کنترلر فازی، در قالب دو نمونه تعقیب مسیر نمایش داده شد. همانطور که ملاحظه گردید، کنترلر فازی طراحی شده با دقت خوبی قادر است تا خروجی‌ها را به سمت مقادیر مطلوب هدایت کرده و در نتیجه کوادکوپتر، مسیر تعیین شده را طی نماید و به خوبی از پدیده مضر چترینگ بوجود آمده با استفاده از کنترلر مود لغزشی جلوگیری کرده است. در گام انتهایی از این مقاله نیز، یک کنترلر نظارتی در کنار یک کنترلر فازی، به منظور کنترل وضعیت کوادکوپتر طراحی گردید در این گام، با توجه به آنکه کنترلر مود لغزشی طراحی شده در بخش‌های قبل، در یک ناحیه معین از متغیرهای حالت، قادر به کنترل وضعیت کوادکوپتر است، از کنترلر فازی که در گام اول این مقاله طراحی گردید، به عنوان کنترلر فازی در کنترلر ترکیبی نظارتی استفاده شد. نتایج ارائه شده در این گام نیز بیانگر آن بود که این کنترلر ترکیبی نیز با دقت بسیار مطلوب قادر به تعقیب مسیر تعیین شده است.

معین از متغیرهای حالت، قادر به کنترل وضعیت کوادکوپتر است، از کنترلر فازی که در گام اول این مقاله طراحی گردید، به عنوان کنترلر فازی در کنترلر ترکیبی نظارتی استفاده شده است.



شکل ۱۵- پاسخ موقعیت سیستم در حضور کنترلر نظارتی

به منظور توضیح بیشتر نحوه کارکرد کنترلر در این بخش، در ناحیه:

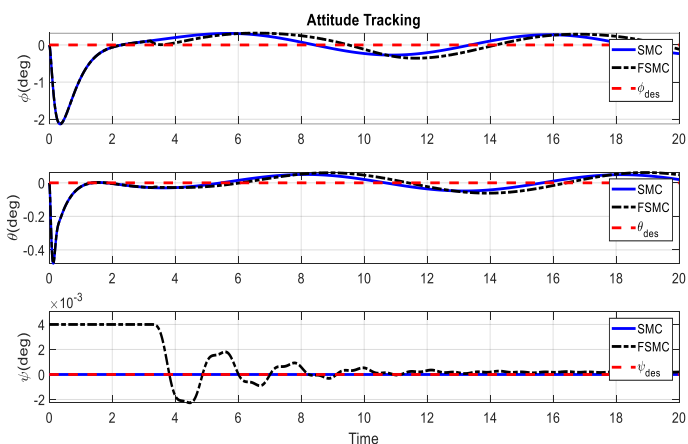
$$|x| < 2, \quad |y| < 2, \quad 0 < z < 2$$

$$|\phi| < 2^\circ, \quad |\theta| < 2^\circ, \quad |\psi| < 2^\circ$$

کنترلر کاملاً فازی بوده (البته با توجه به این که ناحیه آموزش دیده وسیعتر می‌باشد می‌توان مقدار باند که عدد ۲ می‌باشد را بزرگتر نیز در نظر گرفت). و در خارج از این ناحیه کنترلر مود لغزشی فعال است. با فرض شرایط اولیه:

$$x_0 = 5, \quad y_0 = 6, \quad z_0 = 0$$

نتایج بدست آمده از کنترل وضعیت به صورت شکل ۱۴ و ۱۵ خواهد بود. از نتایج نیز کاملاً واضح است که شرایط اولیه در خارج از ناحیه فازی است و بعد از مدت زمانی کم وارد ناحیه فازی می‌شود و در ناحیه فازی نیز به خوبی تعقیب انجام می‌شود.



شکل ۱۵- پاسخ وضعیت سیستم در حضور کنترلر نظارتی

- IEEE Int. Conf. Fuzzy Syst.*, pp. 10–15, 2012, doi: 10.1109/FUZZ-IEEE.2012.6251179.
- [6] C. Papachristos, K. Alexis, and A. Tzes, “Design and experimental attitude control of an unmanned Tilt-Rotor aerial vehicle,” *IEEE 15th Int. Conf. Adv. Robot. New Boundaries Robot. ICAR 2011*, pp. 465–470, 2011, doi: 10.1109/ICAR.2011.6088631.
- [7] A. Oosedo, S. Abiko, S. Narasaki, A. Kuno, A. Konno, and M. Uchiyama, “Flight control systems of a quad tilt rotor Unmanned Aerial Vehicle for a large attitude change,” *Proc. - IEEE Int. Conf. Robot. Autom.*, vol. 2015-June, no. June, pp. 2326–2331, 2015, doi: 10.1109/ICRA.2015.7139508.
- [8] M. M. De Almeida and G. V. Raffo, “Nonlinear Control of a TiltRotor UAV for Load Transportation,” *IFAC-PapersOnLine*, vol. 48, no. 19, pp. 232–237, 2015, doi: 10.1016/j.ifacol.2015.12.039.
- [9] S. Sridhar, R. Kumar, M. Radmanesh, and M. Kumar, “Non-linear sliding mode control of a tilting-rotor quadcopter,” *ASME 2017 Dyn. Syst. Control Conf. DSCC 2017*, vol. 1, 2017, doi: 10.1115/DSCC2017-5375.
- [1] A. Nemati and M. Kumar, “Modeling and control of a single axis tilting quadcopter,” *Proc. Am. Control Conf.*, pp. 3077–3082, 2014, doi: 10.1109/ACC.2014.6859328.
- [2] and M. G. M. Ferdous, S. G. Anavati, “Fuzzy Clustering based Nonlinear System Identification and Controller Development of Pixhawk based Quadcopter,” *2017 Ninth Int. Conf. Adv. Comput. Intell.*
- [3] S. Sridhar, R. Kumar, M. Radmanesh, and M. Kumar, “Non-linear sliding mode control of a tilting-rotor quadcopter,” *ASME 2017 Dyn. Syst. Control Conf. DSCC 2017*, vol. 1, 2017, doi: 10.1115/DSCC2017-5375.
- [4] M. Mirzaei, M. Eghtesad, and M. M. Alishahi, “A new robust fuzzy method for unmanned flying vehicle control,” *J. Cent. South Univ.*, vol. 22, no. 6, pp. 2166–2182, 2015, doi: 10.1007/s11771-015-2741-1.
- [5] M. A. Olivares-Mendez, P. Campoy, I. Mellado-Bataller, and L. Mejias, “See-and-avoid quadcopter using fuzzy control optimized by cross-entropy,”